

هیدرولوژی چشمه‌های کارستی منطقه کلاله، استان گلستان

قمرالدین میرحسنی^۱، رحیم باقری^{۲*}، یعقوب نیک قوچق^۳

۱. دانشجوی کارشناسی ارشد آب‌شناسی، دانشکده علوم زمین، دانشگاه صنعتی شاهرود
۲. استادیار، دانشکده علوم زمین، دانشگاه صنعتی شاهرود
۳. کارشناس ارشد، شرکت آب منطقه‌ای گلستان، گرگان

(تاریخ دریافت ۱۳۹۶/۰۲/۱۹؛ تاریخ تصویب ۱۳۹۶/۰۴/۱۷)

چکیده

منطقه کوهستانی کلاله در شرق استان گلستان واقع شده است. وجود سنگ‌های آهکی کارستی و میانگین بارش سالانه نسبتاً زیاد منطقه سبب شده است که چشمه‌های کارستی بزرگی همچون زاو، آق‌سو و یل چشم در منطقه به وجود آید. در این تحقیق توسعه کارست در منطقه کلاله و حوضه آبگیر چهار چشمه نسبتاً بزرگ منطقه براساس فاکتورهای زمین‌شناسی، هیدرولوژیکی و هیدروشیمیایی بررسی شده است. در این منطقه سازندهای آهکی لار، تیرگان و مزدوران و سازند شیلی سرچشم رختمنون داشته است که چشمه‌ها از آنها تخلیه می‌شوند. دو سازند لار و تیرگان در مجاور یکدیگر پتانسیل تشکیل حوضه آبگیر چشمه بزرگ زاو را داشتند. با بازدید صحراوی و مشاهده عوارض مختلف کارستی همچون گودی مسدود، آفرودچاله و درزه و شکستگی‌های مختلف در سازند کارستی لار، حوضه آبگیر این چشمه در این سازند تشخیص داده شد. نوسانات دبی در چشمه آق‌سو در سازند مزدوران نسبت به تیرگان (یل چشمه بالا) بیشتر است، اما میزان حجم ذخیره آن به دلیل کمی ضخامت سازند، کمتر است. نوع جریان در همه چشمه‌ها از نوع مجرایی و افشاران است. یل چشمه پایین نیز دبی و نوسانات کم داشته که مشخصه سازندهای شیلی همچون سازند سرچشم است. همچنین، نتایج بررسی منحنی فرود نشان داد چشمه‌های زاو و یل چشمه بالایی با سه رژیم خطی فرود مختلف، از یک سفره تکامل یافته کارستی تغذیه می‌شود؛ در حالی که منحنی فرود آق‌سو و یل چشمه پایینی یک رژیم فرود دارد که می‌تواند به دلیل توسعه کمتر کارست در حوضه آبگیر باشد. ضریب خشکیدگی این چشمه‌ها نیز نتایج یادشده را تأیید کرده‌اند. همه چشمه‌ها تقریباً منشاً یکسان و تیپ غالب بی‌کریناته-کلسیک دارند. فرایند تبادل یونی مستقیم نیز علاوه بر پدیده انحلال در منطقه تا حدودی رخداده است. همه چشمه‌ها نسبت به کلیست و دولومیت اشباع تا فوق اشباع، ولی نسبت به زیپس و هالیت تحت اشباع‌اند.

کلیدواژگان: استان گلستان، توسعه کارست، حوضه آبگیر، چشمه‌های کارستی، منحنی فرود.

مقدمه

حدود ۲۵ درصد از منابع آب‌های زیرزمینی جهان در تشکیلات کارست ذخیره شده اند و به عنوان یکی از منابع مهم تأمین‌کننده نیازهای آبی روی کره زمین شناخته شده‌اند [۱]. در ایران نیز حدود ۱۱ درصد از سمعت کشور را نواحی کارستی تشکیل می‌دهد. آبخوان‌های کارستی، مخازن زیرزمینی بهشت نامگذاری هستند که سطح ایستابی در این آبخوان‌ها یک سطح پیوسته نیست و شب منطقه‌ای و محلی دارد [۲].

چشممهای کارستی محل تخلیه طبیعی آبخوان‌های کارستی است. در این سیستم‌ها بیشتر مجاری انحلالی در ارتباط با چشممهای کارستی است، بنابراین با استفاده از داده‌های سری زمانی تخلیه چشممهای فروکش آنها، می‌توان با هزینهٔ بسیار کمی در زمینهٔ خصوصیات سفرهٔ آبدار کارستی اظهار نظر کرد و نوع جریان (افشان یا مجرای) سهم هر نوع جریان، نوع و حجم آب ورودی، رژیم تغذیه (بارانی یا برفی) و حتی روند تغذیه یک چشمه کارستی را تعیین کرد [۳-۵]. برای استفاده از خصوصیات فیزیکی و شیمیایی سفرهٔ کارستی ابتدا باید تأثیر عوامل خارج از سیستم را روی چشممه حذف و سپس تأثیر عوامل داخلی را بر سفرهٔ کارستی بررسی کرد [۶ و ۷]. بنابراین، با بررسی ویژگی‌های هیدرولوژی و هیدروشیمیایی چشممهای کارستی می‌توان به میزان توسعهٔ کارست در یک ناحیه پی برد [۷]. آبخوان‌های کارستی در مقایسه با آبخوان‌های دیگر شرایط مساعدی را برای تغذیه از خود نشان می‌دهند [۸]. شناخت رفتار هیدرولوژیکی لایه‌های آبدار کارستی، تعیین مسیرهای جریان و منشأ تغذیه در سفره‌های کارستی با استفاده از روند تغییرات زمانی خواص فیزیکی و شیمیایی چشممهای کارستی با این تغییرات آخیر، رواج بسیاری داشته است [۹-۱۹]. تعیین مسیر حرکت آب در سفره‌های کارستی بسیار اهمیت دارد و نسبت به محیط‌های دیگر پیچیده‌تر است [۱]. منطقهٔ کوهستانی کلاله در شرق استان گلستان واقع شده است. این منطقه کوهستانی بیشتر از سنگ‌های آهکی کارستی تشکیل شده است. وجود این نوع سنگ‌ها و میانگین بارش سالانه نسبتاً زیاد منطقه سبب شده است که چشممهای کارستی بزرگی در منطقه به وجود آید. در این منطقه، چشممهای پرآبی همچون زاو، آقسو و یل چشممه جریان دارد که منشأ آنها آبخوان‌های کارستی است. در این منطقه تا کنون هیچ

مطالعه‌ای انجام نشده است. در کارهای انجام‌شده در مناطق دیگر معمولاً حوضهٔ آبگیر بیشتر از طریق بیلان هیدرولوژیکی تعیین شده است و همچنین فقط یک سازند آهکی غالب در منطقه وجود داشته است، اما در منطقهٔ کلاله سازندهای آهکی غالب لار، تیرگان و مزدوران در کثار یکدیگر و در مجاور سازند شیلی سرچشمه قرار گرفته‌اند و وسعت زیادی نیز دارند؛ به طوری که پتانسیل توسعهٔ کارست متغروتی دارند. چشممهایی که از آنها تخلیه می‌شود، خصوصیات هیدرولوژیکی مختلفی دارند. بنابراین، فقط با توجه به مطالعات بیلان، تفکیک حوضهٔ آبگیر در این منطقه امکان‌پذیر نیست و نیاز به مطالعات تکمیلی همچون مطالعات کارست به طور همزمان دارد. همچنین، در این تحقیق پارامترهای مختلف همچون ضربی خشکیدگی و ضربی ذخیره نیز برآورد شده است. بنابراین، هدف اساسی از انجام این تحقیق، مطالعهٔ خصوصیات زمین‌شناسی، کارست، هیدرولوژیکی و هیدروشیمیایی چشممهای کارستی منطقه برای تعیین حوضهٔ آبگیر و بررسی توسعهٔ کارست در این سازندهای آهکی است. تا کنون مطالعه‌ای برای بررسی توسعهٔ کارست در این سازندها به طور همزمان انجام نشده است.

زمین‌شناسی و هیدرولوژی منطقهٔ مطالعه شده
منطقهٔ مطالعه شده در شرق استان گلستان، در منطقهٔ کلاله و بین دو زون البرز شرقی و غرب کپه‌داغ قرار دارد. بیشینهٔ ارتفاع حدود سه هزار متر از سطح دریاست، تاقدیس‌های این ناحیه بیشتر روند شمال خاوری-جنوب باختری دارند و یال شمالی کم‌شیب و یال جنوبی آن پرشیب است. مهم‌ترین سازندهای منطقهٔ مطالعه شده به ترتیب از قدیم به جدید شامل سازند آهک-دولومیتی لار، سازند آهکی چمن بید و سازند آهکی مزدوران به سن ژوراسیک، سازندهای آهکی- دولومیتی تیرگان و سازند مارنی سرچشمه به سن کرتاسه و سازند شیلی خانگیران به سن پالئوسن و گستردگی‌رسوبات و لس‌های کواترنری هستند [۲۰ و ۲۱] (شکل ۱).

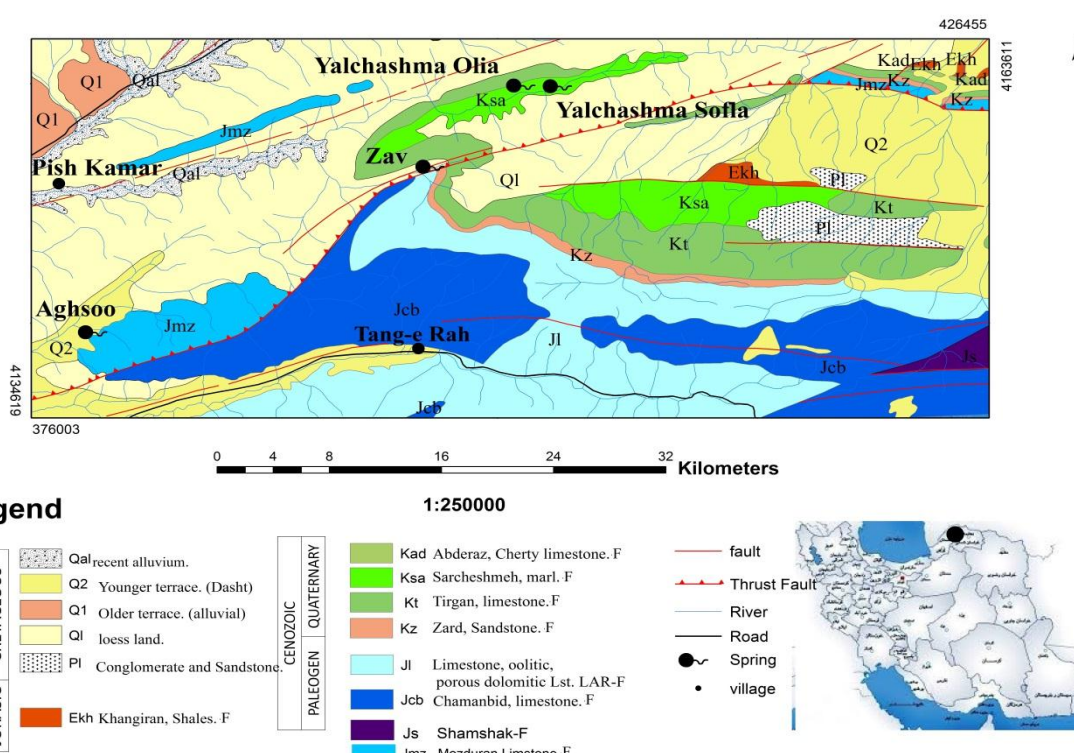
از نظر تکتونیکی گسل‌های متعددی با روند شمال شرق-جنوب غرب سبب بهم ریختگی منطقه شده است به‌طوری که بر اثر عملکرد این گسل‌ها، سیستم درزهای توسعه یافته و محیط مساعد برای چرخهٔ آب در سنگ‌های کربناته را فراهم آورده است. عملکرد ساختاری و هیدرولوژیکی این راندگی، تأثیر مهمی در ظهور چشممهای منطقه به‌خصوص

تغییرات دبی آنها به ترتیب بین ۵۰-۱۷۰ لیتر بر ثانیه برای یل چشمۀ پایینی، ۳-۲۰ لیتر بر ثانیه برای یل چشمۀ بالای، ۵۰-۵۰۰ لیتر بر ثانیه برای چشمۀ آقسو و ۱۰۰-۲۵۰۰ لیتر بر ثانیه برای چشمۀ زاو اندازه‌گیری شده است.

مواد و روش‌ها

برای محاسبه و تحلیل پارامترهای همچون، حجم ذخیره دینامیکی چشمه‌ها، زمان مرگ چشمه‌ها، منحنی تاریسمان و ضریب فروض آنها و همچنین مطالعه کیفی چشمه‌های کارستی منطقه، از داده‌های تغییرات آبدهی و کیفی آنها، که معروف خصوصیات کارست آن منطقه است، استفاده شده است.

چشمۀ زاو ایفا کرده است. به‌طوری که در برابر آبهای ورودی از نقاط دوردست به صورت یک سد هیدرولیکی عمل کرده و همچنین جهت جریان عمومی آبهای زیرزمینی درون حوضه‌ای و برون حوضه‌ای رانیز کنترل می‌کند. بنابراین، منطقه مطالعه شده برای توسعه کارست مساعد بوده و سبب پدیده‌های زمین ریخت‌شناسی کارستی متنوعی نظیر آبروچاله و چشمۀ شده است. به دلیل مرتقب بودن منطقه، دما به طور معمول کم است. میزان نزولات جوی بیش از ۵۰۰ میلی‌متر در سال بوده و اغلب ریزش‌های آسمانی به صورت باران و اندکی برف است. منطقه مطالعه شده شامل یک آبخوان کارستی توسعه یافته است که چندین چشمۀ مهم کارستی (شامل یل چشمۀ آقسو و زاو) از آن خارج می‌شود.



شکل ۱. نقشه زمین‌شناسی منطقه مطالعه شده

$$V = \frac{Q_0 \times 86400}{\alpha} \quad (2)$$

$$t = \frac{t \times \log e}{\log \frac{Q_t}{Q_0}} \quad (3)$$

که در این فرمول‌ها، Q_0 دبی اولیه که روی منحنی تاریسمان انتخاب می‌شود، Q_t دبی ثانویه در زمان t مدت زمان بین دبی اولیه و ثانویه، V : حجم ذخیره

بر اساس مبانی نظری و فرمول‌های هیدرودینامیکی که مایلت (۱۹۰۵) [۲۲] برای منحنی پس‌روی رائه کرده است، می‌توان ضریب تخلیه α (معادله ۱)، ذخیره دینامیکی V (معادله ۲) و زمان مرگ چشمۀ t_0 (معادله ۳) را محاسبه کرد.

$$\alpha = \frac{\log \frac{Q_t}{Q_0}}{0.4343(t)} \quad (1)$$

منطقه مطالعه شده پوشش گیاهی و جنگلی دارد، مقدار درصد نفوذ ۴۲ درصد در نظر گرفته شده است. با توجه به میزان بارش حدود ۵۰ میلی‌متر در سال در این منطقه، مقدار مساحت حوضه آبگیر این چشمه‌ها محاسبه شد. مساحت همه چشمه‌ها در جدول ۱ و شکل ۲ ارائه شده است. با توجه به وسعت و مساحت رخنمون سازنده‌ای کارستی در منطقه و مساحت‌های به‌دست‌آمده، می‌توان نتیجه گرفت که منطقه تغذیه این چشمه‌ها در محدوده نزدیک هر چشمه قرار دارد و به احتمال زیاد از تاقدیس‌های مربوط به خود تأمین می‌شود. در این منطقه سازنده‌ای آهکی لار، تیرگان و مزدوران و سازند شیلی سرچشمہ رخنمون دارند که چشمه‌ها از آنها تخلیه می‌شوند. منطقه کلاله محل رخنمون دو سازند آهکی لار و تیرگان در کنار یکدیگر است که در دیگر مناطق فقط یکی از دو سازند وجود دارد. این دو سازند از نظر پتانسیل برای توسعه کارست متفاوت‌اند. در این منطقه سازند آهکی مزدوران نیز رخنمون دارد. ابتدا گمان بر این بود که برسی بیشتر مشخص شد که این چشمه از سازند کارستی لار تخلیه می‌شود و حوضه آبگیر آن در این سازند قرار دارد. این چشمه نوسانات زیاد دبی دارد که نتیجه توسعه کارست زیاد در این سازند است، اما چشمه‌های مربوط به سازند تیرگان دبی و نوسانات کمتری نسبت به سازند لار در طی سال دارند. با بازدیدهای صحرایی و بررسی‌های زمین‌شناسی، توسعه کارست در این منطقه بررسی شد. در سازند لار عوارض مختلف کارستی همچون گودی مسدود، آبروچاله و درزه و شکستگی‌های مختلف بر اثر عملکرد گسل‌ها مشاهده شد، اما در محدوده سازند تیرگان عوارض کمتر مشاهده شده و چشمه‌ها بیشتر از مرز لایه‌بندی تخلیه می‌شوند.

دینامیکی و Q_0 : مدت زمان تخلیه چشمه با دبی Q_0 هستند. ابتدا با استفاده بازدیدهای صحرایی و نقشه زمین‌شناسی $1/250000$ منطقه، نقشه زمین‌شناسی منطقه مطالعه شده با استفاده از نرم‌افزار سامانه اطلاعات جغرافیایی (GIS) ترسیم شد. سپس، با استفاده از رابطه 4 مساحت حوضه آبگیر مورد نیاز برای چشمه کارستی محاسبه شد:

$$A = \frac{Q}{(P \times I)} \quad (4)$$

که در این معادله، A مساحت حوضه آبگیر چشمه، Q دبی سالانه چشمه، P میزان بارش سالانه و I ضریب نفوذ بارش هستند. با استفاده از روشی که مالیک و وجتكوا (۲۰۱۲) [۲۳] ارائه کرده‌اند درجه توسعه کارست آبخوان‌های کارستی محاسبه شد. در پایان، با ترسیم منحنی تاریسمان چشمه‌ها، تعیین حجم ذخیره دینامیکی مخازن، میزان ضریب آلفا و در نهایت بررسی نتایج شیمیایی چشمه‌ها، به تحلیل نتایج به‌دست‌آمده درباره میزان توسعه کارستی منطقه پرداخته شده است.

یافته‌های تحقیق

تعیین حوضه آبگیر چشمه‌های کارستی برای تعیین حوضه آبگیر چشمه‌های کارستی، مطالعات زمین‌شناسی و هیدرولوژیکی مورد نیاز است. برای تعیین حوضه آبگیر چشمه‌های کارستی زاو، یل چشمه و آقسو در ابتدا با استفاده از عکس‌های هوایی و نقشه‌های زمین‌شناسی محدوده حوضه آبگیر هر یک از چشمه‌های کارستی مشخص شده است. سپس، با استفاده از مطالعه هیدرولوژیکی و بیلان، محدوده‌های پیشنهادی اصلاح شده است.

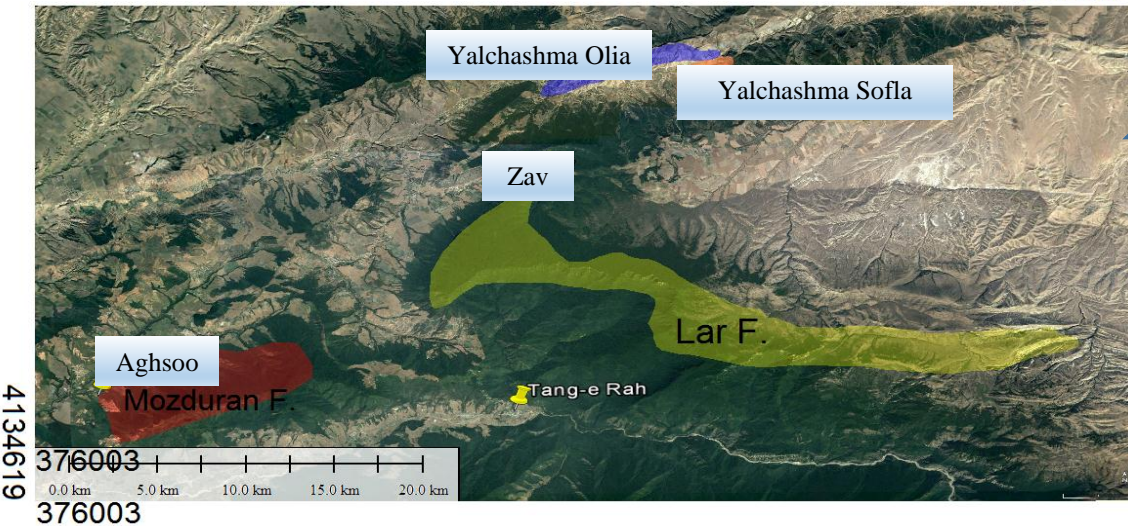
با توجه به مطالعات انجام‌شده در این زمینه در مناطق مختلف [۲۴-۲۶] و نظر کارشناسی و با توجه به اینکه

جدول ۱. پارامترهای مربوط به تعیین حوضه آبگیر چشمه‌های کارستی منطقه مطالعه شده

نام چشمه	مساحت حوضه آبگیر (m^2)	ضریب نفوذ بارش (m)	کل بارش سالانه (m)	حجم آب خروجی سالانه (m^3)
زاو	۸۵	۰/۴۲	۰/۶۵	۲۳۳۰۰۰۰
یل چشمه بالا	۱/۲	۰/۴۲	۰/۶۵	۱۳۵۰۰۰
یل چشمه پایین	۹	۰/۴۲	۰/۶۵	۲۱۴۰۰۰
آقسو	۳۲	۰/۴۲	۰/۶۵	۷۴۰۰۰۰

426455

6263611



شکل ۲. حوضه آبگیر چشمه‌های کارستی

شکل ۳ نشان داده شده است. با توجه به شکل ۳ و جدول ۲، منحنی فروض چشمه‌های زاو و یل چشمه بالا سه زیرگزین خطی با مقادیر کم ضریب α دارند. رابطه منحنی فروض زاو و یل چشمه بالا به ترتیب به صورت

$$Q = 17e^{-0.0023t} + 16e^{-0.0024t} + 4e^{-0.0096t}$$

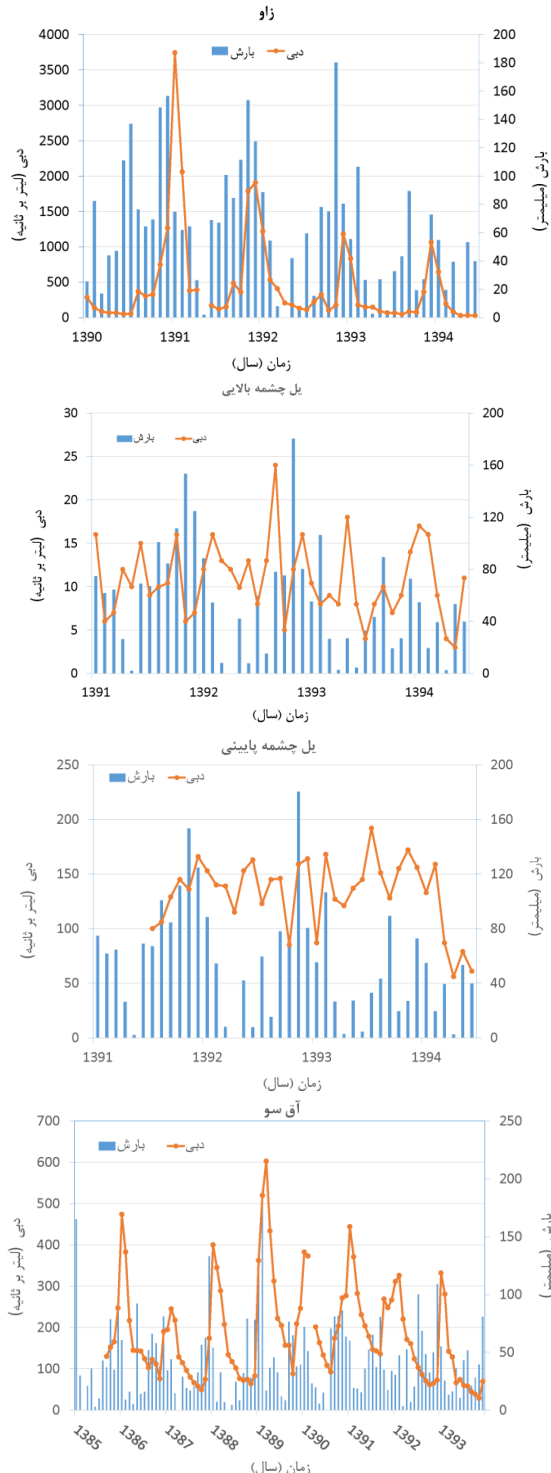
$$Q = 2435e^{-0.0013t} + 1463e^{-0.0019t} + 20e^{-0.007t}$$

محاسبه شده است. براساس روش مایلتو و جتكوا (۲۰۱۲)، درجه توسعه کارست این چشمه‌ها درصد برآورد شد. در این نوع از آبخوان‌ها درز و شکاف‌های کوچک غلبه دارند. با توجه به ضرایب α این چشمه‌های کارستی که ابتدا کم (ضریب α_1) و افزایش یافته (ضریب α_2) و دوباره کاهش یافته است (ضریب α_3)، می‌توان چنین استنباط کرد که کمبودن ضریب α_1 به علت کمبودن توسعه کارست در قسمت بالای آبخوان و همچنین به علت پوشش گیاهی و یک لایه از مواد رسیدانه (مانند لس) و تغذیه ثابت از یک منبع (مانند برف) برای یک دوره است که میزان نفوذ به آبخوان را کاهش داده است. زیادبودن ضریب α_2 را به زهکشی از درز و شکاف‌های بزرگ می‌توان نسبت داد. کاهش دوباره ضریب زهکشی از خلل و فرج ریز باقی‌مانده است. منحنی فروض یل چشمه پایین و آقسو، دارای یک زیرگزین خطی با مقادیر زیاد ضریب α ، درجه توسعه کارست آن $2/3$ درصد است و مناطق تکتونیزه گسلی با نفوذپذیری زیاد از مشخصه این نوع از آبخوان‌هاست. رابطه منحنی فروض

بنابراین، می‌توان نتیجه گرفت که سازند آهکی لار پتانسیل بیشتری برای توسعه کارست دارد و دارای چشمه‌های بزرگ‌تر و حجم ذخیره بیشتر است. نوسانات دبی در چشمه آق‌سو در سازند مزدوران نسبت به تیرگان (یل چشمه بالا) بیشتر است، اما میزان حجم ذخیره آن به دلیل کمی ضخامت سازند، کمتر است. نوع جریان در همه چشمه‌ها از نوع مجرایی و افشار است. یل چشمه پایین نیز دبی و نوسانات دبی کم دارد که مشخصه سازندهای شیلی است.

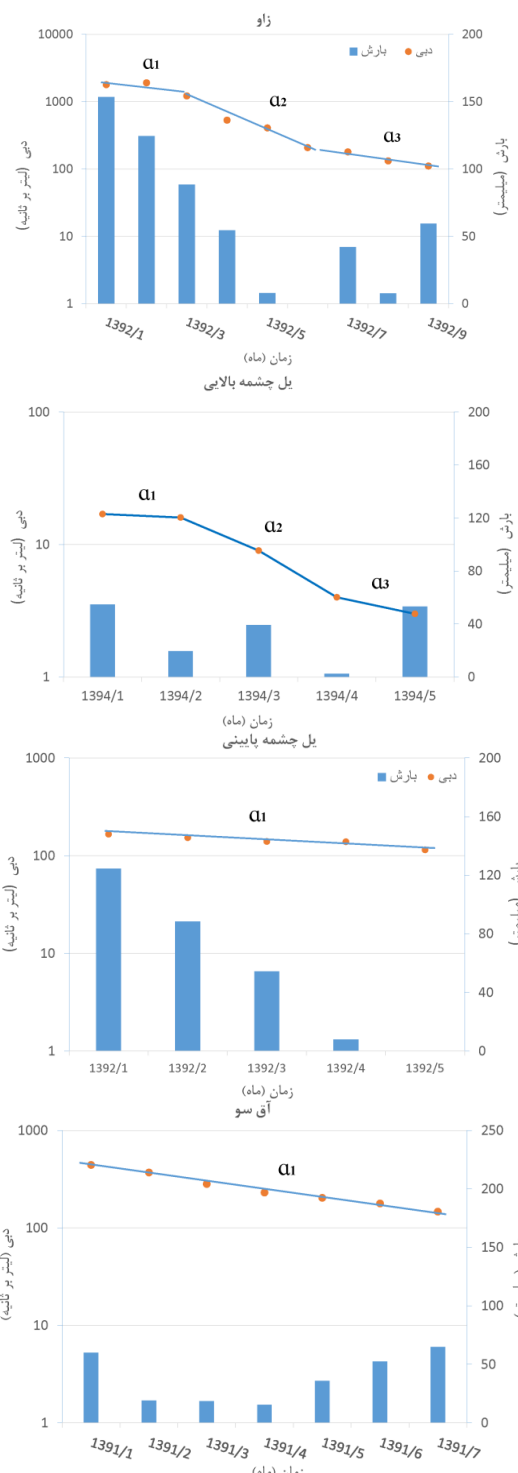
هیدرورگراف و منحنی فروض چشمه‌های کارستی منحنی فروض چشمه‌ها متأثر از وجود شرایط خاص در رژیم تخلیه چشمه‌ها همچون رژیم بارش، لیتولوژی، طرز قرارگیری لایه‌ها و ضخامت آنها، بافت و تخلخل سنگ‌هاست. منحنی فروض در نواحی کمتر توسعه یافته کارستی، به طور معمول روند خطی یکنواخت را نشان می‌دهد، اما رفتار هیدرورگراف چشمه‌ها در نواحی با کارست توسعه یافته، سه ضریب فروض متفاوت را نشان می‌دهند. هرچه میزان ضریب فروض بیشتر باشد، نشان‌دهنده شبیه بیشتر آن‌مود، فروکشی جریان و در نتیجه بیان کننده سرعت تأثیرپذیری دبی جریان از بارش خواهد بود و میزان توسعه کارست در حوضه را نشان می‌دهد [۱۹]. برای ارزیابی تغییرات زمانی دبی چشمه‌های کارستی، هیدرورگراف آنها در سال‌های آبی مختلف ترسیم شده است. به منظور بررسی خصوصیات هیدرورژئولوژیکی چشمه‌های کارستی، منحنی‌های فروض چشمه‌های کارستی ترسیم و در

آبگیر این چشمه‌ها را نشان می‌دهد. در چشمه‌های کارستی یل چشمه بالا، یل چشمه پایین و آق سو، نسبت جریان سریع به جریان پایه تقریباً با هم برابر است، که میزان درجه توسعه کارست این چشمه‌های کارستی نسبت به چشمه کاستی زاو کمتر است.



شکل ۳. هیدروگراف دبی و بارش چشمه‌های زاو، یل چشمه بالا، یل چشمه پایین و چشمه آق سو

یل چشمه پایین و آق سو به ترتیب به صورت ($Q=166 \text{ e}^{-0.061 t}$ و $Q=444 \text{ e}^{-0.061 t}$) است. نوع جریان در همه چشمه‌ها از نوع مجرایی و افشار است. همچنین، در چشمه کارستی زاو جریان سریع نسبت به جریان پایه غلبه دارد، که این موضوع زیابودن توسعه کارست در حوضه



جدول ۲. مشخصات پارامترهای هیدرولوژیکی محاسبه شده در چشمه‌های کارستی منطقه

نام چشمه‌ها	زاو	یل چشمۀ علیا (بالا)	یل چشمۀ سفلا (پایین)	آق سو
ضریب فرود (α_1)	۰/۰۰۱۳	۰/۰۰۲	۰/۰۰۳	۰/۰۰۶۱
ضریب فرود (α_7)	۰/۰۱۹۴	۰/۰۲۳۱	-	-
ضریب فرود (α_7)	۰/۰۰۷	۰/۰۰۹۶	-	-
حجم ذخیره دینامیکی (m³)	$1/89 \times 10^{11}$	$8/3 \times 10^8$	$4/78 \times 10^9$	$6/28 \times 10^9$
ضریب خشکیدگی (t_0)	۷۶/۶	۶۹/۲	۱۲۲/۷	۱۶۲/۸
درجه کارستی شدن	۲/۷	۲/۷	۲/۳	۲/۳
دی پایه (%)	۱۶/۵	۴۷	۵۹	۴۸
جريان سریع (%)	۸۳/۵	۵۳	۴۱	۵۲
مشخصه رابطه منحنی فرود	$Q=2435e^{-0.013t} + 1463e^{-0.0194t} + 201e^{-0.007t}$	$Q=17e^{-0.002t} + 16e^{-0.0231t} + 4e^{-0.0096t}$	$Q=166e^{-0.003t}$	$Q=444e^{-0.0061t}$

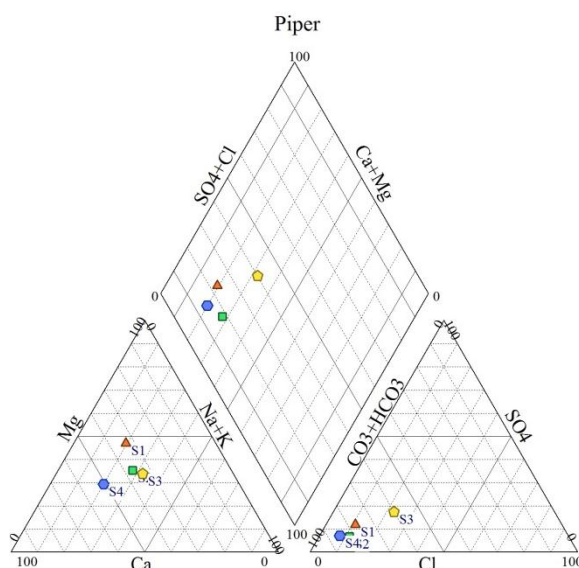
ممکن است فقط یک روند را نشان دهنند. بنابراین، باید نوع بارش را نیز در تفاسیر در نظر گرفت. در منطقه مطالعه شده میزان برف کم است. بنابراین، کمبودن ضریب فرود می‌تواند به دلیل توسعه کم کارست در برخی مناطق باشد.

بررسی خصوصیات هیدروشیمیایی آب چشمه‌ها مقادیر هدایت الکتریکی و pH در چشمه‌ها به ترتیب برابر با ۰/۶۱۰ و ۷/۲۲ در یل چشمۀ بالا، ۷/۷۳ و ۷/۹ در یل چشمۀ پایین، ۷/۲۵ و ۷/۱۷ در چشمۀ آق سو و ۵۶۶ $\mu\text{mhos}/\text{cm}$ و ۸ در چشمۀ زاو هستند. از کاربردی‌ترین نمودارهایی که برای شباهت‌ها و تفاوت‌های نمونه‌ها از طریق نمودار پایپر به خوبی مشخص می‌شود زیرا نمونه‌هایی که خصوصیات مشابه دارند به صورت گروهی در کنار یکدیگر قرار می‌گیرند. همچنین، از نمودار پایپر برای تعیین تیپ آب، احلال یا رسوب‌گذاری، اختلاط و تبادل یونی استفاده می‌شود. با توجه به محل قرارگیری نمونه‌های آب چشمه‌های منطقه مطالعه شده در دیاگرام پایپر، تقریباً همه نمونه‌ها غنی از کلسیم، منیزیم و بی‌کربنات هستند و سختی موقت دارند. نمونه‌ها در مثلث آئیون‌ها مقادیر مشابهی دارند، اما نسبت به غلاظت کاتیون‌ها پراکندگی نشان می‌دهند که نشان دهنده تفاوت در جنس سازند و یا رخداد پدیده تبادل یونی طی مسیر جریان است (شکل ۴). بهطور کلی، در این دیاگرام، تقریباً نمونه‌های سازنده‌های کارستی در نزدیکی یکدیگر پلات شده‌اند و نمونه چشمۀ یل چشمۀ پایینی (S_3) به دلیل تخلیه از سازنده شیلی سرچشمۀ کمی انحراف (افزایش کمی یون کلر و سولفات) کاهش شدت نفوذ میزان ضریب فرود کاهش می‌یابد و

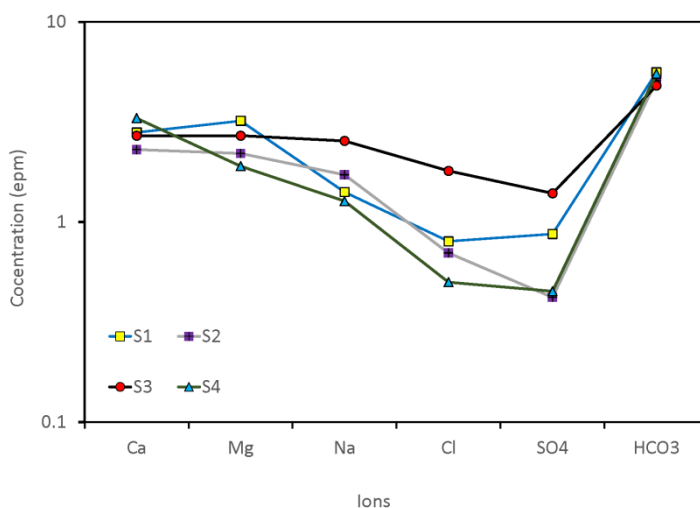
میزان ضریب خشکیدگی (زمان مرگ یا میرایی چشمۀ چشمۀ کارستی زاو و یل چشمۀ بالا تقریباً هم اندازه هستند، و مقدار آنها کم است که نشان دهنده زیادبودن درجه توسعه کارست در منطقه است و میزان ضریب خشکیدگی یل چشمۀ پایین و آق سو نسبت به دیگر چشمۀ‌ها بالاست، که این کمبودن درجه توسعه کارست را نشان می‌دهد. میزان ضریب خشکیدگی یل چشمۀ نسبت به زاو کمتر است، در حالی که میزان توسعه کارست آن نیز نسبت به زاو کمتر است، که می‌تواند به دلیل تفاوت در مساحت حوضه آبگیر این چشمۀ‌ها (شکل ۲ و جدول ۱) باشد. اگر مقایسه‌ای بین محاسبات و هیدروگراف چشمۀ‌های کارستی زاو و یل چشمۀ پایین داشته باشیم، مشخص می‌شود که حوضه آبگیر زاو در مرحله پیشرفت‌تری از تحولات کارستی قرار دارد. برای مثال، دبی متوسط سالیانه زاو برابر با ۷۵۰ لیتر بر ثانیه و دبی متوسط سالیانه یل چشمۀ پایین ۱۳۷ لیتر بر ثانیه است، حال آنکه حجم ذخیره دینامیکی زاو $1/89 \times 10^{11}$ مترمکعب و حجم ذخیره دینامیکی یل چشمۀ پایین $4/87 \times 10^8$ مترمکعب است. بنابراین، با فرض اینکه بارش در هر دو منطقه هم‌زمان شروع شود و به پایان برسد، و دیگر چشمۀ‌ها هیچ تغییرهای نداشته باشند، چشمۀ کارستی زاو سریع‌تر تخلیه می‌شود که نشان دهنده توسعه بیشتر کارست در این منطقه است. البته، یادآوری این نکته لازم است که در برخی از مناطق که میزان نزولات جوی بیشتر به صورت برف است، تأثیر مشخصی بر روند نزول هیدروگراف و مقدار ضریب فرود می‌گذارد. بهطوری که با افزایش میزان تغذیه از طریق برف، به دلیل کاهش شدت نفوذ میزان ضریب فرود کاهش می‌یابد و

است که ناشی از تغذیه از طریق مناطق آهکی است. مقدار یون منیزیم نیز در برخی چشمه‌ها زیاد است که با توجه وجود سازند آهکی-دولومیتی همچون لار و تیرگان قابل انتظار است. سازندهای کربناته در این منطقه در برخی نقاط دولومیتی است. با گذشت زمان و تماس آب با سازندهای مختلف، امکان تغییر ترکیب شیمیایی اولیه آب وجود دارد.

نسبت به بقیه چشمه‌ها دارد. از نمودار شولر بهمنظور بررسی یکسان بودن یا نبودن منشأ نمونه‌ها، بررسی روند مقادیر یون‌های اصلی آب و مقایسه بین نمونه‌ها استفاده می‌شود [۲۷]. با توجه به شکل ۵ همه نمونه‌ها روند یکسانی دارند که نشان‌دهنده منشأ یکسان آب آنهاست. همه نمونه‌ها نسبت به Ca-HCO₃ کربنات غالب هستند و قیپ غالب آب به صورت



شکل ۴. نمودار پایپر چشمه‌های آق سو (S1)، یل چشمۀ بالایی (S2)، یل چشمۀ پایینی (S3) و زاو (S4)



شکل ۵. نمودار شولر برای چشمه‌های کارستی آق سو (S1)، یل چشمۀ بالا (S2)، یل چشمۀ پایین (S3) و زاو (S4)

دیگر سازندهای سدیم‌دار وارد آب شده و به عکس کلسیم و منیزیم رسوب کرده و وارد فاز جامد شده و غلظت آنها در آب کم می‌شود. این فرایند به‌طور عکس و یا غیرمستقیم نیز می‌تواند صورت گیرد و سدیم رسوب و کلسیم به محیط محلول آزاد شود [۲۸]. برای بررسی فرایند تبادل یونی

یکی از فرایندهای غالب در طبیعت که با گذشت زمان سبب تغییر ترکیب شیمیایی آب می‌شود، پدیده تبادل یونی است که می‌تواند به صورت مستقیم و یا غیرمستقیم صورت بگیرد. طی فرایند تبادل یونی، یون سدیم با یون‌های کلسیم و منیزیم تبادل می‌یابد؛ به‌طوری که یون سدیم از مارن‌ها و

یک مول SO_4^{2-} به محیط اضافه می‌شود. بنابراین، نسبت $\text{Ca}/(\text{Ca}+\text{SO}_4^{2-})$ باید مقدار $0/5$ داشته باشد که در منطقه مطالعه شده این نسبت بیشتر بوده است. دلیل بیشتر بودن این نسبت نیز می‌تواند به منشأ دیگر کلسیم همچون انحلال کربناتها یا انحلال همزممان کربناتها و زیپس ارتباط داشته باشد، اما با توجه به کمبودن مقدار TDS در نمونه‌ها می‌توان نتیجه گرفت که انحلال زیپس صورت نگرفته و منشأ یون کلسیم، انحلال کربنات‌هاست. نمایه اشباع (Saturation Index) هر یک از نمونه‌ها نسبت به کانی‌های کلسیت، دولومیت، زیپس و هالیت محاسبه شده و نتایج در جدول ۳ ارائه شده است. با توجه نتایج همه نمونه‌ها نسبت به کانی‌های کلسیت و دولومیت اشباع تا فوق اشباع هستند و نسبت به زیپس و هالیت تحت اشباع اند. این نتایج با توجه به اینکه سازندهای عمده در منطقه مطالعه شده آهکی-دولومیتی است، قابل توجیه است.

می‌توان از رابطه بین $\text{Ca}+\text{Mg}^{2+}$ در مقابل $\text{SO}_4^{2-}+\text{HCO}_3^{-}$ استفاده کرد. منشأ اصلی یون‌های کلسیم و منیزیم، اتحال کربنات‌ها و زیپس است. بنابراین، با رسم این دو نسبت به یکدیگر می‌توان بیان کرد که انحراف از خط $1:1$ در این گراف می‌تواند دلیل بر افزایش و یا کاهش غلظت این کاتیون‌ها طی فرایند تبادل یونی باشد. زیرا اگر فقط عامل انحلال کربنات‌ها و زیپس منشأ اصلی بودند، باید همه نمونه‌ها روی خط قرار می‌گرفتند. درباره نمونه‌های منطقه مطالعه شده می‌توان بیان کرد که پدیده تبادل یونی مستقیم در منطقه رخ داده است. طی این پدیده غلظت یون سدیم در آب افزایش و به تبع غلظت کلسیم و یا منیزیم کاهش یافته است. البته، این فرایند عامل اصلی در منطقه نیست و به مقدار کمی رخ داده است. نسبت $\text{Na}/(\text{Na}+\text{Cl})$ بیشتر از $0/5$ است که افزایش غلظت سدیم طی فرایند تبادل کاتیونی را نشان می‌دهد. طی انحلال زیپس یک مول Ca^{2+}

جدول ۳. نمایه اشباع کلسیت (SI_c)، دولومیت (SI_d)، زیپس (SI_g) و هالیت (SI_h) در نمونه آب چشمehاای منطقه

SI_c	SI_d	SI_g	SI_h	نام محل نمونه برداری
-0/15	-0/57	-1/71	-7/46	آق‌سو
-0/15	-0/42	-1/99	-7/60	بل‌چشمeh بالایی
-0/82	1/71	-1/45	-7/03	بل‌چشمeh پایینی
-1/09	2/08	-1/83	-7/88	زاو

میزان حجم ذخیره آن به دلیل کمی ضخامت سازند، کمتر است. نوع جریان در همه چشمehا از نوع مجرایی و افشار است. بنابراین، می‌توان نتیجه گرفت که سازند آهکی لار نسبت به سازند مزدوران پتانسیل بیشتری برای توسعه کارست دارد و دارای چشمehای بزرگ‌تر و حجم ذخیره بیشتر است. بر اساس منحنی فرود و ضریب آلفای چشمehا چنین استنباط می‌شود که زاو و بل‌چشمeh بالایی از یک بستر تکامل‌یافته کارستی تغذیه می‌شود. این در حالی است که منحنی فرود آق‌سو و بل‌چشمeh پایینی با روند تقریباً یکنواخت نزولی است که توسعه کمتر کارست را در حوضه آبگیر نشان می‌دهد. بررسی ضریب فرود باید با نوع بارش انجام شود. به طوری که همیشه ضریب فرود کمتر دلیل بر توسعه کارست کم نیست و می‌تواند به دلیل بارش برف باشد. به طوری که با افزایش میزان تغذیه از طریق برف، به دلیل کاهش شدت نفوذ، میزان ضریب فرود کاهش می‌یابند و ممکن است فقط یک روند را نشان دهند. بنابراین، نوع

نتیجه‌گیری
چشمehاای کارستی منطقه کلاله دارای تغییرات دبی بین $50-170$ لیتر بر ثانیه برای بل‌چشمeh پایینی، $3-20$ لیتر بر ثانیه برای بل‌چشمeh بالایی، $500-2500$ لیتر بر ثانیه برای چشمeh زاو هستند. نوع جریان در همه چشمehا از نوع مجرایی و افشار است. مقادیر هدایت الکتریکی و pH در چشمehا به ترتیب برابر با 610 و $7/22$ در بل‌چشمeh بالا، 773 و $7/9$ در بل‌چشمeh پایین، 725 و $7/17$ در چشمeh آق‌سو و $566 \mu\text{mhos/cm}$ و 8 در چشمeh زاو هستند. ابتدا گمان بر این بود که حوضه آبگیر چشمeh بزرگ زاو، سازند تیرگان باشد. با وجود عوارض مختلف کارستی همچون گودی مسدود، آبروچاله و درزه و شکستگی‌های مختلف در سازند کارستی لار، حوضه آبگیر چشمeh بزرگ زاو در این سازند تشخیص داده شد. نوسانات دبی در چشمeh سازند مزدوران (آق‌سو) نسبت به تیرگان (بل‌چشمeh بالا) بیشتر است، اما

اکوهیدرولوژی، دوره ۵، شماره ۲، تابستان ۱۳۹۷، geography research quarterly journal. 2015;47(3):333-346.[Persian].

- [9]. Bagheri R. Leakage potential in Seymarreh dam site. MSC thesis. 1nd ed. Shiraz: Shiraz University; 2007 [Persian].
- [10]. Mohammadi-Behzad H, Cherchi GH, Kalantari N. Assessing the hydrogeological behavior of Sabz-Abad karstic spring, north of Khozestan province. Advanced applied geology journal. 2014;15(5):10-19.[Persian].
- [11]. Bagheri R, Raeisi E, Zare M, Mohamadi Z, Bahadori F. The source of karstic springs in east part of Ravandi Anticline using ^{2}H - ^{18}O , hydrochemistry, and water budget. Proceeding of 11th symposium of geology society of Iran. 2007;4-6; Mashhad.[Persian].
- [12]. Bagheri R, Raeisi E, Zare M, Mohamadi Z. Leakage potential in Seymareh dam site. The 26th symposium on geosciences. 2008;17-19; Tehran.[Persian].
- [13]. Mohammadi Z, Bagheri R, Jahanshahi R. Hydrogeochemistry and geothermometry of Changal thermal springs, Zagros region, Iran. Geothermics. 2010;(39):242–249.
- [14]. Ahmed M. Lineament as groundwater exploration guides in hard-rock terranes of arid regions. Canadian journal of remote sensing. 1996;22(1):108-116.
- [15]. Li Sh, Zhang Q, Su M, Wang Z, Wang S. Predicting geological hazards during tunnel construction. Journal of hard rock mechanics and geotechnical engineering. 2010;2(3):232-242.
- [16]. Ashjari J. In influences of anticlinal structure on regional flow, Zagros, Iran. PhD thesis. 1nd ed. Shiraz: Shiraz University; 2007.
- [17]. Kukacka M. Self-organization for the detection of local features. The 9th proceedings of contributed papers. 2009;62-67; Prague.
- [18]. Kovacs A. A quantitative method for the characterisation of karst aquifers based on spring hydrograph analysis. Journal of hydrology. 2005;303(1-4):152–160.
- [19]. Karimi H. Characterising the main karst aquifers of the Alvand 12- basin, northwest of Zagros, Iran, by a hydrogeochemical approach. Hydrogeology journal. 2005;13(5-6):787-799.
- [20]. Alavi M. Regional stratigraphy of the Zagros fold-thrust belt of Iran and its pro-foreland evolution. American journal of science. 2004;304(1):1–20.
- [21]. Stocklin J, Setudehnia A. Stratigraphic lexicon of Iran. 1nd ed. Iran: Geological survey of Iran; 1977.

بارش نیز در رفتار منحنی فرود مؤثر است. چشممهای کارستی نشان دهنده میزان توسعه کارست سفرهها هستند. بنابراین، با استفاده از دادههای سری زمانی تخلیه چشممهای و منحنی فروکش آنها، با هزینه بسیار کمی میتوان در زمینه خصوصیات سفره آبدار کارستی اظهار نظر کرد. برای تعیین حوضه آبگیر علاوه بر استفاده از معادله بیلان، باید بررسی زمین‌شناسی و ژئومورفولوژی کارست نیز انجام شود.

قدردانی

از شرکت آب منطقه‌ای گلستان به دلیل در اختیار قراردادن اطلاعات اولیه و همچنین از دانشگاه صنعتی شاهروド به دلیل فراهم کردن امکانات لازم طی انجام این تحقیق تشکر و قدردانی می‌شود.

منابع

- [1]. Ford D, Williams P. Karst geomorphology and hydrogeology. 2nd ed. England: John Wiley & Sons, Ltd; 2007.
- [2]. Raeisi E, Karami GH. The governing factors of the physicochemical characteristics of Sheshpeer karst spring, Iran. Carbonate and evaporates. 1996;11(2):162-169.
- [3]. Karimi H. Hydrogeological investigation of Mogermoone and Sar-Asiab karstic springs. Proceeding of 9th symposium of geology society of Iran. 2005;149-157; Tehran.[Persian].
- [4]. Maghsoodi M, Karimi H, Safari H, Chahar-Rahi Z. Evaluating the karst development in Prav-Bisetoon region. Physical geography research quarterly journal. 2009;69(8):51-65.[Persian].
- [5]. Karami GH. Hydrogeological and hydrochemical assessment of karstic springs in Palangan and Zar Ab region report. 1nd ed. Kurdistan: Kurdestan regional water authority; 2011.[Persian].
- [6]. Padilla A, Pulido-Bosch A, Mangin A. Relative importance of baseflow and quickflow from hydrographs of karst spring. Ground water journal. 1994;32(2):267-277.
- [7]. White WB. Groundwater flow in karstic aquifers. In: Delleur JW, editor. The handbook of groundwater engineering. 2nd ed. Boca Raton: CRC Press; 1998.p.1-47.
- [8]. Bagheri S, Yamani M, Jafar-Bigloo M, Karimi H, Moghimi A. The assessing of karst development and hydrodynamic characteristics of karstic aquifers in Alvand region. Physical

- [22]. Maillet E. *Essais d'hydraulique souterraine et fluviale*. 1nd ed. Paris: Hermann; 1985.
- [23]. Malik P, Vojtкова S. Use of recession-curve analysis for estimation of karstification degree and its application in assessing overflow/underflow condition in closely spaced karstic springs. *Environmental earth sciences*. 2012;65(8):2245-2257.
- [24]. Karami GH, Bagheri R, Rahimi F. Determining the groundwater potential recharge zone and karst springs catchment area: Saldoran region, western Iran. *Hydrogeology journal*. 2016;24(8):1981-1992.
- [25]. Bagheri R, Jafari H, Momeni AA, Bagheri F. Analysis of karst spring recession curves, west of Iran. *Arabian journal of geosciences*. 2016;1(19):731-743.
- [26]. Allocca V, Manna F, Vita PD. Estimating annual groundwater recharge coefficient for karst aquifers of the southern Apennines (Italy). *Hydrology and earth system science*. 2014;18:803–817.
- [27]. Todd DK, Mays LW. *Groundwater hydrology*. 3rd ed. New York: John Wiley; 2005.
- [28]. Hem JD. *Study and interpretation of the chemical characteristics of natural water*. 1nd ed. New York: United States geological survey; 1970.